

京都大学防災研究所 正員 今本博健

1. はじめに： 乱流場の時空間構造の実験的検討法は、一般的に、乱れ速度の多点同時計測による方法と、流れの可视化による方法とに大別される。前者はデータ処理が簡単で、定量的評価に適しているものの、広領域にわたる特徴を把握するには多点計測が必要となる。条件はサンプリングによりある程度補正されるが現象が平均化され、卓越現象の特性を抽出し難いという欠点がある。後者は広領域の流れをみるには卓越現象を容易に把握できため、ヒーレントは大規模乱流現象の解説に用いられてきた。ただし、複雑な乱流現象から卓越現象を抽出しようとする場合、研究者の主観に支配される要素も多く、普遍的特徴の識別にはかなりの熟練と豊富な知識が要求される。本報告は、開水路流れにおける3方向の乱れ速度を对象とした多点同時計測を行ない、3方向軸に垂直な平面上における空間相関特性について検討することとした。結果の可视化実験より得られた知見を統合して、それの発生・発達過程のモデル化を試みたものである。

2. 空間相関特性： 長さ13m、幅40cm、路床勾配1/1,000の溝面直線水路において、流量 $Q = 6.35 \text{ m}^3/\text{sec}$ 、水深 $H = 4.06\text{cm}$ 、フルード数 $F_F = 0.62$ 、レイルズ数 $Re = 1.59 \times 10^5$ の流れを対象とし、2台の2成分甲X型ホットフィルム流速計を用いて乱れ速度の2点同時計測を行なった。<sup>1)</sup> データ処理における $\pi > 70^\circ > 45^\circ$ 周波数 $f_s = 160$ および $320\text{Hz}$ 、データ数 $N = 500$ 、繰返し数 $NR = 5 \sim 25$ である。

図-1は、水路中心線上の半水深点を基準として、流れ(x)方向(縦方向)、鉛直(y)方向および横(z)方向の乱れ速度 $u$ 、 $v$ 、 $w$ の縦断面(xy平面)、横断面(yz平面)および水平断面(xz平面)における空間相関係数 $R$ の計算結果を示したものである。次の事項が知られる。すなはち、縦断面上における $R_{uu}$ および $R_{vw}$ の等相関線は、 $x$ 方向に大きく広がり、下流域に従つた変形長波状となる。これに対し、 $R_{vv}$ には僅きず見られず、 $y$ 方向のたがいが最も卓越した長波状である。このように、 $R_{uu}$ および $R_{vw}$ は $R_{vv}$ と $R_{vw}$ と大きく異なる普遍的な特徴を有すること、 $u$ および $w$ と $v$ との発生機構に差異のあることを示すものとして注目される。また、横断面上の $R$ は、 $x$ 軸も長波状であるが、 $R_{uu}$ および $R_{vw}$ が $x$ 軸を長軸としているのに対し、 $R_{vv}$ は $y$ 軸を長軸としている。さらに、水平断面上では、 $R_{uu}$ および $R_{vw}$ が $x$ 軸を長軸とする長波状であり、 $R_{vv}$ は $y$ 軸を長軸としている。

このように、空間相関特性は対象とする乱れ速度および平面の種類によつて複雑に変化しており、単純な乱流構造モデルは必ずしも乱れ速度を説明するこことは困難である。したがつて、以下においては主として縦断面上の空間相関特性に着目し、乱れの発生・発達過程のモデルについて検討する。

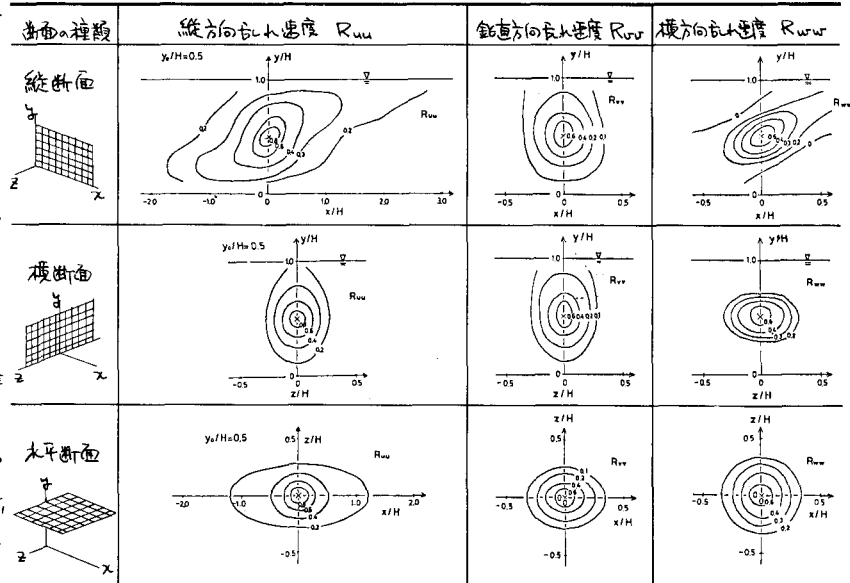
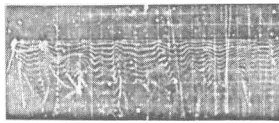


図-1 各種断面上における等空間相関曲線の特性

i) 路床面近傍における低速縦湍と高速縦湍



ii) 横断面上の縦湍



iii) 移動堆積物による水面の鉛直湍

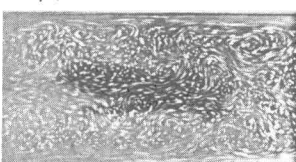


図-1 岩手河川視化実験例(原上野<sup>2)</sup>)

TRIAL MODEL OF TURBULENT STRUCTURE

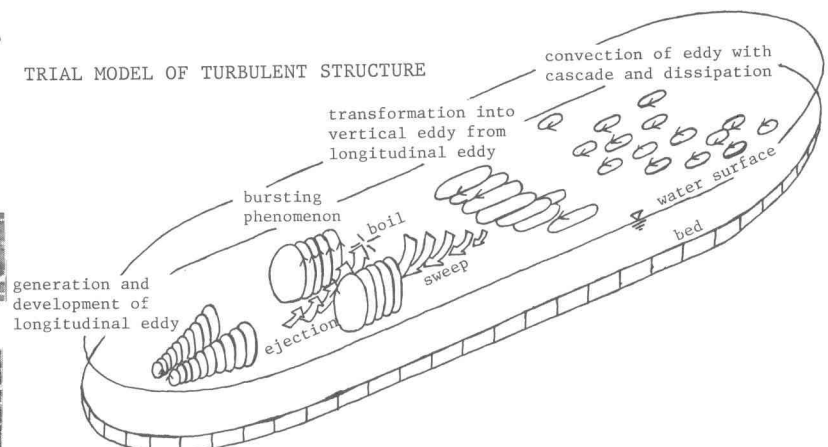


図-2 *Boiling*発生・発達過程のモデル化(第1段階: 弱い縦湍の発生および発達,

第2段階: バースティング現象, 第3段階: 鉛直湍への変換, 第4段階:

移動に伴う鉛直湍への構造および遷移)

3. 長れの発生・発達過程のモデル: 最近における流れの可視化技術の発展に伴い、長れの発生・発達過程について多くの有用な知見が得られるようになり、E. 宇民・上野<sup>2)</sup>によると撮影されたものと示したものごとに、2) 路床近傍には流れ方向に正びる低速縦湍および高速縦湍の存在が認められ、これらがバーストと呼ばれる湍の発生へとつながり、これらもともと考えられる。また水面上には鉛直軸回りの渦運動が数多く認められ、平均流とともに底下して、変形・遮蔽するものと考えられる。宇民・上野はこのようないわゆるの発生・発達過程を湍の集中と変形という概念より説明できようとして、1次湍、馬蹄湍、縦湍の3段階に分けたモデルを提案している。馬蹄湍の概念は、Theodorsenによると揚湯されて結果、*Boiling*発生・発達過程を説明するための主要概念として多くの研究者により用いられており、その存在と直接的に確認することができ難くなっているが、まだ、横方向に正びる渦管が上昇・変形していくという馬蹄湍の概念では、実験で示されないRouの特性を説明し得るようと思われる。

このため、図-1 および図-2に示した空間相関特性と流況特性とを考慮して説明しようとするモデルとして、図-2に示すようにモルタル化を試みた。図-2のモデルによると、長れの発生・発達過程は次のようになる。

1) 第1段階として縦軸回りに弱い湍が発生し、湍打撃部附近へ上昇流により往連縦湍、湍打撃部付近の下降流により高速縦湍が形成されるようになる。2) 渦管が発達して水塊全般にわたる縦湍となり、やはり強い上昇流(ejection)が発生され、水面上にはボイルが見られるようになる。この縦湍には鉛直軸および横軸回りの渦運動も含まれるが、縦軸回りの運動が最も卓越して、これで縦湍と呼ぶことにする。3) 上昇流が次第に発達するにつれて、縦湍からのエネルギー補給が不足となり、底の下降流(sweep)が発生し、縦軸回りの渦運動は弱くなり、鉛直軸回り運動が卓越するようになる。4) 鉛直湍は平均流によつて底下して、慣性効果により、逆スパートの方向へ向かって発達して、粘性効果により遮蔽され、これがまた湍の発達につながる。

以上のモデルを用いて図-1に示した空間相関特性を説明する。すなはち、鉛直方向の平均速度は主として縦湍に控制されており、鉛直位置による位相差は生じない。しかし、縦湍のおよび横軸方向の平均速度は鉛直湍によつて制御され、底下によって鉛直位置による位相差が見られるようになる。

以上のモデルは、現象を極端に単純化して示したものであるが、実際現象では、湍運動の未発達、隣接湍の干渉などによりますかに複雑なものでは、これをこのまま説いてしまう。このモデルの妥当性については今後さらに検討を続けていくに、より完全なものがへ改善していく予定である。なお、平報告では宇民・上野あたりの議論よりも多くの未吸収を受けた。ここに記して謝意を表す。参考文献: 1) 年報: 沿岸部河川調査, 2) 宇民上野: 流れの可視化(1973年)。